

Illustration sur des processus à un ou deux photons

1 - Amplitude de transition

- Hypothèses sur le système atomique et sur le champ incident
- État initial et état final
- Matrice S

2 - Vérification directe de l'égalité entre les amplitudes de transitions calculées dans un point de vue et dans l'autre

- Processus à 1 photon
- Processus à 2 photons
- Application à la transition $1s-2s$ de l'hydrogène

3 - Résolutions de quelques paradoxes

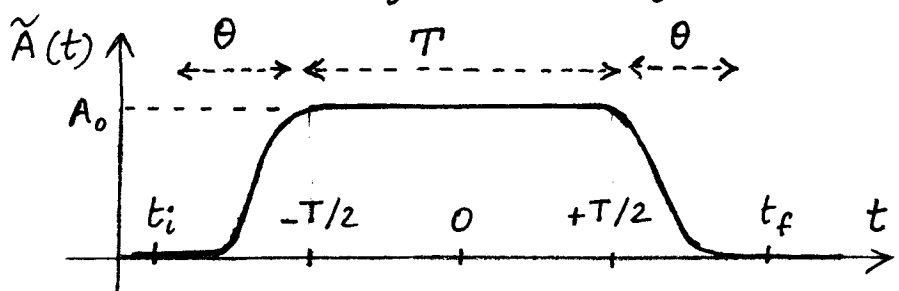
- Processus non résonnantes à 1 photon
- Quelques autres pièges à éviter

Atome en \vec{O} $H_p = \frac{\vec{p}^2}{2m} + V(\vec{r})$

Etats d'énergie $|1a\rangle, |1b\rangle, |1r\rangle \dots$ d'énergies $E_a, E_b, E_r \dots$

Champ extérieur incident en \vec{O} (On suppose $V_0 = 0$)

$$\vec{A}_e(\vec{O}, t) = \vec{e}_3 A(t) = \vec{e}_3 \tilde{A}(t) \cos \omega t \quad \tilde{A}(t): \text{enveloppe}$$



$$T > 1/\omega$$

$$T \gg \theta$$

$$\theta \gg 1/\omega$$

$$\vec{E}_e(\vec{O}, t) = -\dot{\vec{A}}_e(\vec{O}, t) = \vec{e}_3 [\omega \tilde{A}(t) \sin \omega t - \dot{\tilde{A}}(t) \cos \omega t]$$

Le 2^e terme, en $\dot{\tilde{A}}$, est négligeable puisque $\theta \gg 1/\omega$

Etat initial à t_i et état final à t_f

Comme $\tilde{A}(t_i) = \tilde{A}(t_f) = 0$, \vec{p} et H_p ont le même sens physique (quantité de mouvement et énergie totale) dans les 2 points de vue $\vec{A} \cdot \vec{p}$ et $\vec{E} \cdot \vec{r}$ à $t = t_i$ et $t = t_f$

$$|\Psi(t_i)\rangle = |1a\rangle \quad \text{Énergie totale } E_a$$

$$|\Psi(t_f)\rangle = |1b\rangle \quad \text{Énergie totale } E_b$$

$$\text{Transition } a-b \quad E_b - E_a = \hbar \omega_0$$

Matrice S (élément de matrice de V en représentation interaction) VIII-2

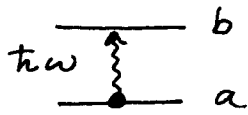
$$S_{ba} = \lim_{\substack{t_2 \rightarrow +\infty \\ t_1 \rightarrow -\infty}} \langle b | e^{iH_0 t_2/\hbar} V(t_2, t_1) e^{-iH_0 t_1/\hbar} | a \rangle$$

$$H = H_0 + V \quad H_0 = H_P = \frac{\vec{P}^2}{2m} + V(\vec{r})$$

- Dans le point de vue $\vec{A} \cdot \vec{p}$, $V = -\frac{q}{m} \vec{p} \cdot \vec{A}_e(\vec{0}, t) + \frac{q^2}{2m} \vec{A}_e^2(\vec{0}, t)$ (le 2ème terme en q^2 est un nombre n'agissant pas sur les particules)
- Dans le point de vue $\vec{E} \cdot \vec{r}$, $V = -q \vec{r} \cdot \vec{E}_e(\vec{0}, t)$

Processus à 1 photon

ω voisin de ω_{ba}



Point de vue $\vec{A} \cdot \vec{p}$

$$S_{ba} = \frac{2\pi}{i\hbar} M_{ba} \frac{A_0}{2} \delta^{(T)}(\omega - \omega_{ba}) \quad M_{ba} = -\frac{q}{m} \langle b | \vec{e}_3 \cdot \vec{p} | a \rangle = -\frac{q}{m} (P_3)_{ba}$$

$\delta^{(T)}$: Fonction delta de largeur $\sim 1/T$

Point de vue $\vec{E} \cdot \vec{r}$

$$S'_{ba} = \frac{2\pi}{i\hbar} M'_{ba} \frac{A_0}{2} \delta^{(T)}(\omega - \omega_{ba}) \quad M'_{ba} = -i\omega q \langle b | \vec{e}_3 \cdot \vec{r} | a \rangle = -i\omega q (Z)_{ba}$$

Vérification directe de l'équivalence entre les 2 points de vue

- Basé sur l'identité $(P_3)_{ba} = i\omega_{ba} m(Z)_{ba}$
elle même déduite de

$$[Z, H_P] = i\hbar \frac{\partial H_P}{\partial P_Z} = i\hbar \frac{P_Z}{m}$$

- On en déduit $M_{ba} = \frac{\omega_{ba}}{\omega} M'_{ba}$

$$\text{A résonance } (\omega_{ba} = \omega), M_{ba} = M'_{ba} \rightarrow S_{ba} = S'_{ba}$$

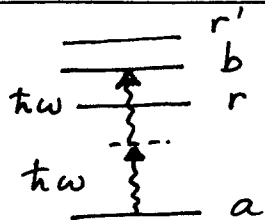
$$\text{Hors résonance } (\omega_{ba} \neq \omega), \delta^{(T)}(\omega - \omega_{ba}) = 0 \rightarrow S_{ba} = 0 = S'_{ba}$$

↪ Dans tous les cas, $S_{ba} = S'_{ba}$

Processus à 2 photons

ω voisin de $\omega_{ba}/2$

Pas de niveau intermédiaire résonnant à 1 photon



Point de vue $\vec{A} \cdot \vec{p}$

$$S_{ba} = \frac{2\pi}{i\hbar} Q_{ba} \left(\frac{A_0}{2}\right)^2 \delta^{(T)}(2\omega - \omega_{ba}) \quad Q_{ba} = \left(\frac{q}{m}\right)^2 \sum_r \frac{(P_3)_{br} (P_3)_{ra}}{\hbar(\omega - \omega_{ra})}$$

r: niveaux atomiques "relais"

Point de vue $\vec{E} \cdot \vec{r}$

$$S'_{ba} = \frac{2\pi}{i\hbar} Q'_{ba} \left(\frac{\alpha_0}{2}\right)^2 \delta^{(T)}(2\omega - \omega_{ba}) \quad Q'_{ba} = -\omega^2 q^2 \sum_r \frac{(3)_{br}(3)_{ra}}{\hbar(\omega - \omega_{ra})}$$

Vérification directe de l'identité entre les 2 points de vue

- Basé sur les identités $[3, P_3] = i\hbar$, $(P_3)_{br} = i\omega_{br} m(3)_{br} \dots$ qui permettent de démontrer que

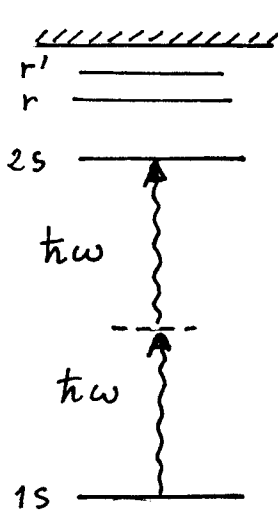
$$Q_{ba} = Q'_{ba} \quad \text{si} \quad \omega_{ba} = 2\omega$$

- A résonance ($\omega_{ba} = 2\omega$), $Q_{ba} = Q'_{ba} \rightarrow S_{ba} = S'_{ba}$
- Hors résonance ($\omega_{ba} \neq 2\omega$), $\delta^{(T)}(2\omega - \omega_{ba}) = 0 \rightarrow S_{ba} = 0 = S'_{ba}$
- ↪ Dans tous les cas, $S_{ba} = S'_{ba}$

Application à la transition 1S - 2S de H (F. Bassani, J.J. Forney)

A. Quattropani, Phys. Rev. Lett. 39, 1070 (1977))

Contributions des divers niveaux relais à $Q_{2S-1S} = Q'_{2S-1S}$ (en unités de $-q^2 \omega^2 a_0^2 / 3 E_I$)



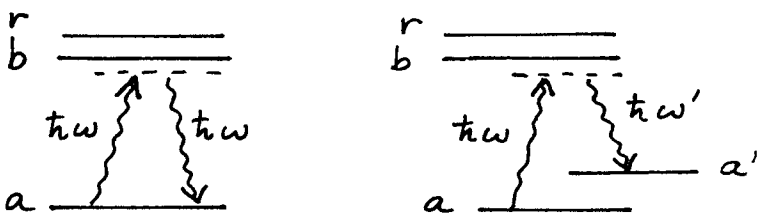
	Point de vue $\vec{A} \cdot \vec{P}$	Point de vue $\vec{E} \cdot \vec{r}$
Tous les niveaux relais (y compris le continuum)	11,8	11,8
1 niveau r : 2P	0	17,9
2 niveaux r : 2P, 3P	2,7	14,8
3 niveaux r : 2P, 3P, 4P	3,6	14,1
10 niveaux r : 2P, 3P ... 11P	4,5	13,5

- Chaque niveau relais ne contribue pas de la même façon dans chaque point de vue. Entre t_i et t_f , $\vec{A}_e \neq \vec{0}$, et un même état mathématique $|r\rangle$ ne décrit pas le même état physique dans les 2 points de vue. Par contre, la somme des contributions de tous les niveaux r est la même.
- $(\text{Contribution de } r)_{\vec{A} \cdot \vec{P}} / (\text{Contribution de } r)_{\vec{E} \cdot \vec{r}} = (\omega_{br} \omega_{ra}) / \omega^2$
D'autant plus grande en module que r est plus haut
↪ Convergence plus lente de la série dans le point de vue $\vec{A} \cdot \vec{P}$
Calculs plus rapides et plus précis dans le point de vue $\vec{E} \cdot \vec{r}$

Processus non résonnantes à 1 photon

- Si $|a\rangle$ est l'état fondamental, $|b\rangle$ un niveau excité de largeur naturelle Γ , et si ω diffère de ω_{ba} tout en étant voisin de ω_{ba} , on est tenté de remplacer $\delta^{(T)}(\omega - \omega_{ba})$ dans S_{ba} et S'_{ba} par une lorentzienne de largeur Γ
↪ Résultats différents dans les 2 points de vue ($M_{ba} \neq M'_{ba}$ si $\omega \neq \omega_{ba}$)

- Erreur du raisonnement précédent : Pour avoir une résolution [VIII-4] meilleure que P , il faut attendre un temps $T \gg P^{-1}$. L'état $|b\rangle$ s'est certainement désespacé et ne peut être le véritable état final du processus. Le processus réel est un processus de diffusion à 2 photons (Rayleigh ou Raman), l'énergie globale étant conservée à l'issue du processus.



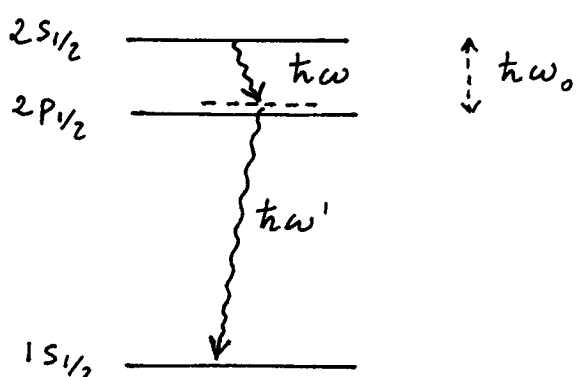
Le processus non résonnant à 1 photon est englobé dans un processus résonnant à 2 photons pour lequel les prédictions des 2 points de vue sont identiques.

- Même si b est très proche de résonance, nécessité de sommer sur tous les autres niveaux relais possibles pour retrouver le même résultat dans les 2 points de vue.

Exemple célèbre de la transition de Lamb $2S_{1/2} \rightarrow 2P_{1/2}$

Forme de raie pour $\omega \neq \omega_0$. Résultats différents dans les 2 points de vue si on affecte une largeur Γ à $2P_{1/2}$.

En réalité, le processus est à 2 photons : émission stimulée d'un photon $h̄w$, émission spontanée d'un photon $h̄w'$.



L'état $2P_{1/2}$ est un état intermédiaire particulier parmi tous les états np possibles. Il faut sommer sur tous ces états pour retrouver le même résultat dans les 2 points de vue.

Série convergant beaucoup plus vite dans le point de vue $\vec{E} \cdot \vec{r}$

Quelques autres pièges à éviter

- Nécessité d'utiliser des fonctions d'ondes exacte pour retrouver le même résultat dans les 2 points de vue.
- Dans les processus d'absorption de 2 photons de fréquences différentes ω, ω' , il faut ajouter les amplitudes associées aux 2 ordres temporels possibles : ω puis ω' , ω' puis ω . Idem pour un processus de diffusion $a, \vec{k} \vec{E} \rightarrow a', \vec{k}' \vec{E}'$ (absorption $\vec{k} \vec{E}$ puis émission $\vec{k}' \vec{E}'$, émission $\vec{k}' \vec{E}'$ puis absorption $\vec{k} \vec{E}$, processus simultanés associés à $H_{II} = -q^2 A^2 / 2m$)
- Cas où $\vec{A}_c(\vec{r}, t)$ n'est pas branché lentement et débranché lentement sur un intervalle de temps $\Theta \gg 1/\omega$. Une impulsion "caracté" de \vec{A}_c n'est pas équivalente à une impulsion "caracté" de \vec{E}_c .

$$\vec{E}_c(\vec{r}, t) = -\frac{\partial}{\partial t} \vec{A}_c(\vec{r}, t)$$

Un branchement soudain de \vec{A}_c donne naissance à une impulsion de champ \vec{E}_c (Ne pas oublier le terme en $\dot{\vec{A}}$)